

Approved For Release STAT
2009/08/19 :
CIA-RDP88-00904R000100120

De

Approved For Release
2009/08/19 :
CIA-RDP88-00904R000100120



Вторая Международная конференция
Организации Объединенных Наций
по применению атомной энергии
в мирных целях

A/CONF/15/P/2230
USSR
ORIGINAL: RUSSIA

Не подлежит оглашению до официального сообщения на Конференции

НЕКОТОРЫЕ ФИЗИЧЕСКИЕ СВОЙСТВА УРАНА,
ПЛУТОНИЯ И ИХ СПЛАВОВ.

Кокобеевский С.Т., Займовский А.С., Левитский Б.М.,
Сокурский Д.Н., Чеботарев Н.Т., Бобков Д.В., Егоров П.П.,
Николаев Г.Н., Иванов А.А.

В В Е Д Е Н И Е.

Развитие ядерной техники привело к появлению новых материалов, используемых в качестве ядерного горючего. В большинстве случаев физические свойства их не известны.

Тепловыделяющие элементы в реакторах работают в режиме интенсивного тепловыделения, подвергаются воздействию термоупругих напряжений, циклическому изменению температуры, действию облучения и т.д. Поэтому необходимо знать основные физические свойства материалов, используемых для изготовления тепловыделяющих элементов.

В процессе исследования материалов для сердечников тепловыделяющих элементов было получено большое число данных о свойствах урана, плутония и их сплавов. Некоторые из них представлены в этом докладе.

I. НЕКОТОРЫЕ ФИЗИЧЕСКИЕ СВОЙСТВА МЕТАЛЛИЧЕСКОГО
ПЛУТОНИЯ.

Исследованию физических свойств плутония посвящено значительное количество работ. Опубликованные данные представлены в обзорах /1/, /2/. В докладе приводятся некоторые дополнительные сведения о физических свойствах плутония.

25 YEAR RE-REVIEW

- 2 -

а. Теплоты фазовых превращений.

Данных о теплотах фазовых превращений плутония в литературе нет, за исключением данных о теплоте $\alpha - \beta$ превращения /1/.

Были исследованы скрытые теплоты фазовых превращений плутония. Исследования проводились в дифференциальном вакуумном калориметре.

Результаты этих исследований представлены в табл. I.

Таблица I.

Теплоты и температуры фазовых превращений плутония.

Фазовый переход	$\alpha - \beta$	$\beta - \gamma$	$\gamma - \delta$	$\delta - \eta$	$\eta - \epsilon$	$\epsilon - \dots$
Температура превращения, °C	122	211	315	440	460	635
Скрытая теплота превращения, кал/г	$3,2 \pm 0,5$	$0,7 \pm 0,1$	$0,8 \pm 0,1$	$1,0 \pm 0,0$	$1,6 \pm 0,3$	$3,3 \pm 0,5$

Приведенные в таблице данные для $\alpha - \beta$ превращения с точностью до ошибки эксперимента согласуются с приведенными в литературе /1/.

б. Упругие свойства плутония.

Упругие свойства плутония определялись резонансным методом при комнатной температуре.

Определение модуля Юнга E и модуля сдвига G производилось на образце α -плутония, полученного выдавливанием при 230°.

Получены следующие значения констант упругости:

$$E = 9,1 \cdot 10^3 \text{ кг/мм}^2;$$

$$G = 3,8 \cdot 10^3 \text{ кг/мм}^2.$$

Вычисленное по этим данным значение коэффициента Пуассона μ оказалось равным 0,21.

п. МАГНИТНЫЕ СВОЙСТВА СПЛАВОВ ПЛУТОНИЯ И УРАНА.

Магнитная восприимчивость металлических плутония и урана исследовалась неоднократно / см. например /3/, /4/, /5/ /. Однако, восприимчивость их сплавов с другими элементами изучена мало.

2857-62

- 3 -

В связи с этим исследовалась магнитная восприимчивость интерметаллических соединений Pu и U с другими элементами. Восприимчивость определялась по силе, действующей на образец в неоднородном магнитном поле, по обычной методике. Результаты исследования некоторых из систем сплавов приведены ниже.

Магнитная восприимчивость ряда интерметаллических соединений плутония с Co, Ni и Mn представлена в таблице 2^{х)}, а концентрационная зависимость магнитной восприимчивости на рис. I. Как видно из этого рисунка атомная восприимчивость соединений с большой концентрацией Ni и Co велика и резко убывает по мере увеличения содержания плутония в соединениях. Такое изменение можно объяснить исчезновением собственного магнитного момента никеля и кобальта за счет электронов плутония, входящих в 3-d оболочку этих металлов. Это явление аналогично наблюдавшейся ранее закономерности в серии твердых растворов Ni - Cu, Ni - Zn, Ni - Al и др. /6/, а также в системе Pa - U /7/.

Для уничтожения магнитного момента кобальта требуется больше атомов плутония, чем для никеля. Это согласуется с тем, что Co имеет больше незаполненных 3-d-уровней, и означает, что Pu в ряду этих интерметаллических соединений отдает в 3-d -полосу примерно постоянное количество электронов. Рост восприимчивости при переходе к соединениям более богатым плутонием связан с влиянием магнитного момента плутония.

Зависимость обратной восприимчивости $1/\chi_g$ соединений плутония с Co, Ni и Mn от температуры показана на рис. 2. Восприимчивость этих соединений слабо зависит от температуры, что связано, по видимому, с сильным обменным взаимодействием между атомами.

На рис. 3 представлена зависимость восприимчивости сплавов плутония с цирконием от концентрации циркония.

Восприимчивость β -фазы сплавов Pu - Zr уменьшается пропорционально концентрации циркония. Восприимчивость интерметаллического соединения Pu₆Zr существенно / в 1,4 раза / больше

х) В таблице 2 для сравнения представлены также значения парамагнитной восприимчивости плутония при 20° и Ni при 500°, то есть выше температуры Кюри.

Таблица 2.

Парамэгнитная восприимчивость соединений плутония
с Co, Ni и Mn.

№№ п/п	Соединение	Структура	Парамэгнитная восприимчивость при 20°С	
			Массовая, $\chi_g \cdot 10^6$ е.м.е.г ⁻¹	Атомная ^{х)} $\chi_a \cdot 10^6$ е.м.е.г-ат ⁻¹
I	Pu (α)	ромбич.	2,4	570
2	Pu ₆ Co	о.ц.тетраг., тип U ₆ Mn	2,3	490
3	Pu ₃ Co	-	2,5	480
4	Pu ₂ Co	гекс. тип Fe ₂ P	2,4	480
5	Pu Co ₂	г.ц.к. тип Mg Cu ₂	10,5	1250
6	Pu Ni	-	2,4	490
7	Pu Ni ₂	г.ц.к. тип Mg Cu ₂	1,9	220
8	Pu Ni ₃	-	2,7	280
9	Pu Ni ₄	-	3,6	350
10	Pu Ni ₅	гекс.	4,8	480
11	Pu ₂ Ni ₁₇	гекс. тип Th ₂ Ni ₁₇	15,4 ^{хх)}	1200
12	Ni /500°	г.ц.к.	45	2620
13	Pu Mn ₂	г.ц.к. тип Mg Cu ₂	7,8	930

х) χ_a восприимчивость в среднем на гр. атом вычислена по формуле $\chi_a = \chi_g (\alpha A + \beta B)$, где выражение в скобках представляет средний атомный вес.

хх) Определена по восприимчивости сплава Pu Ni₅+Pu₂ Ni₁₇.

восприимчивости δ -фазы аналогичного состава.

Восприимчивость интерметаллических соединений урана с кобальтом, никелем и марганцем приведена в таблице 3.

Восприимчивость соединений урана с алюминием в исследованном интервале температур достаточно хорошо подчиняется закону Кюри-Вейсса

Таблица 3.

Парамагнитная восприимчивость соединений урана
с **Ca** , **Ni** и **Mn** .

№ № п/п	Соединение	Структура	Парамагнитная восприимчивость при 20°С.	
			Массовая, $\chi_g \cdot 10^6$ е.м.е.г ⁻¹	Атомная, $\chi_a \cdot 10^6$ е.м.е.г-ат. ⁻¹
1	U (α)	ромбич.	1,72	410
2	U ₆ Co	о.ц.тетраг. тип U ₆ Mn	~ 2 ^{x)}	~ 420
3	U Co	о.ц.к.	2,3	320
4	U Co ₂	г.ц.к., тип Cu ₂ Mg ₃ , 2		380
5	U ₆ Ni	о.ц.тетраг. тип U ₆ Mn	~ 2	~ 420
6	U ₇ Ni ₉	-	2.2	310
7	U Ni ₂	гексагон., тип Mg Zn ₂	2,6	340
8	U ₆ Mn	о.ц.тетрагон.	~ 2 ^{x)}	~ 420
9	U Mn ₂	г.ц.к., тип Cu ₂ Mg	~ 6 ^{xx)}	~ 700

x) Данные Кауфмана и Гордона /8/.

xx) Определена по восприимчивости сплава. U₆ Mn + U Mn₂ .

Значения восприимчивости этих соединений, постоянные Кюри и вычисленные по этим постоянным значения магнитного момента приведены в табл. 4.

Полученные значения магнитных моментов показывают, что уран в этих интерметаллических соединениях находится, по-видимому, в четырехвалентном состоянии.

В таблице 5 приведены данные, характеризующие магнитную восприимчивость соединений U Be₁₃ и Pu Be₁₃ . Восприимчивость этих соединений также подчиняется закону Кюри-Вейсса со сравнительно небольшой величиной постоянной θ /70-80°К/, характеризующей так называемое молекулярное поле. Такая температурная зависимость восприимчивости у этих соедине-

Таблица 4.

Парамагнитная восприимчивость интерметаллических соединений урана
с алюминием.

Соединение	Структура	Парамагнитная восприимчивость при 20°		Исследуемый интервал температур, °C	Температурная зависимость восприимчивости, т.е.	Магнитный момент урана (х) μ _B	Валентность урана.
		массовая, X _g · 10 ⁶ - I е.м.е.г.-I	атомная, X _a · 10 ⁶ - I е.м.е.г.-ат-I				
U Al ₂	р.ц.к. a = 7,811A° тип Cu ₂ Mg	8,43	2460	20-800	X _g · 10 ⁶ = $\frac{3820}{T+160}$	3,0	IV
U Al ₃	кубич. a = 4,827 A° тип Au Cu ₃	4,85	1540	20-800	X _g · 10 ⁶ = $\frac{4580}{T+700}$	3,5	IV
U Al ₄	ромбич. a = 4,41 A° b = 6,27 A° c = 13,71 A°	6,14	2120	20-650	X _g · 10 ⁶ = $\frac{3760}{T+320}$	3,2	IV

х) Магнитный момент урана вычислялся без введения поправки на диамагнетизм ионов U и Al.

- 7 -

ний связана, по-видимому, с тем обстоятельством, что атомы плутония и урана в решетке Pu Be_{13} и U Be_{13} находятся на значительном расстоянии друг от друга и взаимодействие между ними в результате этого ослабляется.

Таблица № 5.

Соединение	Массовая восприимчивость при 20°, $\chi_g \cdot 10^6$ ед. мер. -I	Температурная зависимость восприимчивости	Магнитный момент урана и плутония, μ_B
U Be_{13}	12,0	$\chi_g \cdot 10^6 = \frac{4350}{T+70}$	3,5
Pu Be_{13}	2,4 ^{x)}	$\chi_g \cdot 10^6 = \frac{900}{T+80}$	1,7

x) Значения парамагнитной восприимчивости Pu Be_{13} получены на образцах, содержащих некоторое количество ферромагнитной примеси, влияние которой исключалось соответствующей поправкой.

Исследование магнитных свойств соединений плутония с железом показало, что соединение Pu Fe_2 ферромагнитно. Зависимость намагниченности Pu Fe_2 от температуры дана на рис.4, из которого видно, что температура Кюри этого соединения равна 360°С. Получены также кривые намагничивания, одна из которых приведена на рис.5. Намагниченность насыщения этого соединения равна 1020 гаусс/моль.

Соединение Pu Fe_2 изоморфно с соединением U Fe_2 . Интересно то, что оба эти соединения ферромагнитны. О ферромагнетизме соединения U Fe_2 сообщалось Кауфманом и Гордоном /8/. Авторами данной работы также были изучены магнитные свойства этого соединения.

Установлено, что температура Кюри этого соединения равна - 80°, построены кривые намагничивания, одна из них показана на рис.6.

III. НЕКОТОРЫЕ ФИЗИЧЕСКИЕ СВОЙСТВА МЕТАЛЛИЧЕСКОГО УРАНА.

Физические свойства урана изучены довольно подробно. Опубликовано большое число работ, имеется также ряд обзоров/см., например, /9/, /10//. В докладе приводятся некоторые новые данные о свойствах металлического урана.

а) Термическое расширение.

Наряду с данными о коэффициентах термического расширения α -урана, о которых имеется ряд публикаций /9/, /11/, были получены также данные о термическом расширении α -фазы сплавов урана с плутонием.

На рис.7 и в таблице 6 сопоставляются результаты для α -урана и α -фазы сплава урана с 15% ат. плу. Растворение в решетке α -урана атомов плутония приводит к такому же изменению осевых периодов, как и повышение температуры - период по осям а и с возрастает, по оси б - убывает. Добавка плутония увеличивает также анизотропию термического расширения α -фазы. Отрицательный коэффициент термического расширения по оси б - α_b увеличивается по своей абсолютной величине.

Таблица 6.

Средние коэффициенты термического расширения α -урана
и α -фазы сплава урана с 15% ат. плутония.

	Интервал температур, °C	$\alpha_a \times 10^6$	$\alpha_b \times 10^6$	$\alpha_c \times 10^6$
α - U	20-300	28,8 \pm 1	-0,4 \pm 1	23,5 \pm 1
	20-500	32,9 \pm 1	-6,3 \pm 1	27,6 \pm 1
α -фаза сплава урана с 15% ат плу-тония.	20-300	30 \pm 4	-8 \pm 4	29 \pm 4
	20-400	32 \pm 4	-12 \pm 4	32 \pm 4

Обработка кривых, показанных на рис.7, методом наименьших квадратов для интервала 0-500° привела к следующим выражениям для периодов решетки α -урана:

- 9 -

$$\begin{aligned} a &= 2,852 / 1+21,7 \cdot 10^{-6} T + 2,2 \cdot 10^{-8} \text{ }^2/; \\ b &= 5,865 / 1+8,5 \cdot 10^{-6} T - 2,8 \cdot 10^{-8} \text{ }^2/; \\ c &= 4,953 / 1+16,7 \cdot 10^{-6} T + 2,1 \cdot 10^{-8} \text{ }^2/; \end{aligned}$$

и для сплава урана с 15% ат.плутония:

$$\begin{aligned} a &= 2,861 / 1+26,2 \cdot 10^{-6} T + 1,4 \cdot 10^{-8} \text{ }^2/; \\ b &= 5,859 / 1+1,9 \cdot 10^{-6} T - 3,0 \cdot 10^{-8} \text{ }^2/; \\ c &= 4,956 / 1+25,2 \cdot 10^{-6} T + 1,6 \cdot 10^{-8} \text{ }^2/; \end{aligned}$$

где a, b, c - периоды решетки α -фазы в Å и T - температура в $^{\circ}\text{C}$.

При исследовании коэффициента термического расширения α -урана было обнаружено, что соотношение интенсивностей некоторых дифракционных линий α -урана при повышении температуры изменяется.

На рис. 8 показаны микрофотометрические кривые группы линий, полученные с рентгенограмм α -урана, снятых на никелевом излучении при 20 и 500 $^{\circ}$. Замер и сравнение площадей отдельных максимумов / очерченных пунктирными линиями / с учетом того, что интенсивности линий /135/ и /331/ должны быть всегда равными, подтвердили, что интенсивность линий /063/ возрастает по отношению к интенсивности линий /135/ и /331/.

Учет всех факторов, влияющих на интенсивность, показал, что изменение интенсивности связано с изменением структурного фактора. В α -урание /12/ структурный фактор определяется выражениями:

$$\begin{aligned} F &= 4 f \sin 2\pi k y && \text{при } k \text{ нечетном;} \\ F &= 4 f \cos 2\pi k y && \text{при } k \text{ четном,} \end{aligned}$$

где f - атомный фактор.

Изменение структурного фактора может быть вызвано только изменением внутреннего параметра y решетки α -урана.

Вычисления показали, что при повышении температуры от 20 $^{\circ}$ до 500 $^{\circ}$ внутренний параметр y α -урана возрастает от $y = 0,107 \pm 0,003$ до $y = 0,115 \pm 0,003$ / при 500 $^{\circ}$ /.

Решетку α -урана можно рассматривать как искаженную гексагональную решетку, сильно вытянутую в направлении оси b /рис.9/. Соотношение b/a у α -урана равно 2,056, что на 16% больше соответствующего соотношения орторомбических осей у гексагональной решетки. Атомы промежуточных слоев / атомы II и IV на рис.9 / так-

- 10 -

же смещены из тех положений, в которых они должны находиться в компактной гексагональной решетке / эти положения на рис.9 обозначены точкой Р /.

Уменьшение периода по оси b и рост внутреннего параметра с увеличением температуры увеличивает сходство решетки α -урана с компактной гексагональной решеткой и уменьшают различие межатомных расстояний в решетке α -урана. Представляет особый интерес то, что такие же изменения периодов решетки α -урана вызывает растворение в ней инородных атомов, например, плутония /см. выше/ и молибдена /см. следующий раздел/. По-видимому и повышение температуры, и введение в решетку α -урана инородных атомов уменьшает тенденцию к образованию ковалентных связей и решетка урана приближается к более симметричной.

б. Модуль упругости и внутреннее трение урана.

Модуль упругости измерялся резонансным методом. Образцы вытачивались из урана, отожженного в γ -фазе. После механической обработки образцы отжигались в α -фазе для снятия остаточных напряжений. Изменение модуля нормальной упругости одного из образцов α -урана с температурой показано на рис.10.

На этом же рисунке показана температурная зависимость внутреннего трения урана. Внутреннее трение определялось по времени затухания поперечных колебаний частотой 800-1180 гц. Видимый на рис.10 максимум внутреннего трения обусловлен фазовым превращением. Увеличение внутреннего трения выше 350 связано, по-видимому, с пластичностью границ зерен. Эти данные согласуются с наблюдавшимся микроскопически переходом при 300-350⁰ от деформации по телу зерна к деформации по границе, а также с резким увеличением выше этой температуры скорости ползучести урановых образцов с мелким зерном /13/. По-видимому, эквикохезионная температура α -урана лежит в области 300-350⁰.

в. Теплопроводность.

Теплопроводность урана определялась стационарным относительным методом в интервале температур 100-500⁰. Исследование показало, что теплопроводность образцов, изготовленных по различным технологиям, существенно не различается.

- II -

На рис. II показана теплопроводность литого урана, урана, закаленного из γ -области, и урана, полученного из порошка горячим прессованием. Теплопроводность металлокерамического урана с плотностью $18,7 \text{ г/см}^3$ практически совпадает с данными для урана, полученного другими методами, а теплопроводность образцов с плотностью $18,0$ и $18,13 \text{ г/см}^3$ оказалась заметно ниже.

IV. СТРУКТУРА И ФИЗИЧЕСКИЕ СВОЙСТВА СПЛАВОВ УРАНА С МОЛИБДЕНОМ.

а) Диаграмма состояния уран-молибден.

Исследованию системы уран-молибден посвящено большое количество работ. Впервые диаграмма состояния уран-молибден была опубликована Пфейлем /14/. Эта диаграмма в основном правильно отражала характер и границы высокотемпературных областей. Области же, связанные с низкотемпературными превращениями, на ней отсутствовали. Характер низкотемпературных превращений, испытываемых γ -фазой в этих сплавах, позднее изучался рядом исследователей /15/, /16/, /17/. Однако, представленные в работах /15/, /16/ диаграммы состояния существенно различаются между собой в отношении характера распада γ -фазы.

На рис. 12 приведена диаграмма состояния уран-молибден, полученная авторами настоящего доклада.

Установлено, что максимальная растворимость молибдена в γ -фазе урана при 900° составляет около 37 ат.%. При этом значение периода решетки γ -фазы при комнатной температуре изменяется в зависимости от содержания молибдена в соответствии с уравнением $a = 3,481 - 0,00333C / \text{А}$, где C - концентрация молибдена в ат.процентах. Максимальная растворимость молибдена в β -уране составляет 3 ат.% при 635° .

Некоторое количество молибдена / до 2,4 ат.% / может растворяться в α -фазе урана. На рис. 13 приведена зависимость периодов решетки α -урана от содержания в сплаве молибдена. Растворение молибдена приводит к значительному уменьшению периода по оси b , в то время как периоды по осям a и c изменяются сравнительно мало. Эти изменения аналогичны описанным выше изменениям периодов решетки α -фазы урана при растворении в ней плутония.

При температуре 560° γ -фаза испытывает эвтектидный рас-

- 12 -

пад $\gamma \rightarrow \alpha + \gamma' (U_2 Mo)$. Концентрация эвтектидной точки соответствует $\sim 21,6\%$ ат. молибдена.

Фаза $U_2 Mo$ имеет структуру типа $Cr_2 Al_0$ с периодами тетрагональной решетки $a = 3,420 \text{ \AA}$ и $c = 9,859 \text{ \AA}$. Элементарная ячейка этой фазы является утроенной по высоте ячейкой γ -урана. Положение атомов в решетке γ' -фазы отвечает упорядоченному расположению атомов урана и молибдена. На каждые 4 слоя атомов урана приходится 2 слоя атомов молибдена. Координаты атомов следующие:

2 Mo: $000; 1/2, 1/2, 1/2.$
 4 U: $00z; 00\bar{z}; 1/2, 1/2, 1/2 +z;$
 $1/2, 1/2, 1/2 -z.$

Внутренний параметр решетки z равен $0,329 \pm 0,002$.

Аналогичные данные о структуре γ' -фазы получены Хэлтманом /18/.

На диаграмме состояния фаза $U_2 Mo$ имеет сравнительно небольшую область гомогенности. Отклонение от стехиометрического состава в сторону увеличения содержания молибдена вызывает резкое нарушение упорядоченности структуры, в результате чего решетка приближается к кубической.

Если степень отклонения решетки γ' -фазы от кубической γ -фазы характеризовать величиной $\alpha = \frac{a-c/3}{a}$, то в результате указанных выше изменений величина α будет уменьшаться /рис. 14/. Процесс разупорядочения происходит также с повышением температуры выше $560-575^\circ$ /рис. 15/. При температуре 615° процесс разупорядочения полностью заканчивается.

б. Текстура γ -фазы в сплавах урана с молибденом.

Исследование проводилось на фольге сплава урана с 9% вес. молибдена, полученной путём холодной прокатки с обжатием $97,6\%$. В результате исследований была построена полясная фигура, приведенная на рис. 16. Соответствующие идеальные ориентировки показаны в табл. 7.

Текстура γ -фазы в сплаве урана с 9 вес. % молибдена в основном аналогична текстуре холоднокатаного α -железа.

Таблица 7.

Ориентировки кристаллов δ -фазы в холоднокатанной фольге сплава урана с молибденом.

№ ориентировки	Степень выраженности ориентировки	Плоскость, совпадающая с плоскостью прокатки	Направление, совпадающее с направлением прокатки.	Направление перпендикулярное направлению прокатки /поперечное направление/
1	Сильная	(001)	/110/	/110/
2	Сильная	(112)	/110/	/111/
3	Слабая	(111)	/112/	/110/

в. Кристаллографические ориентировки при распаде δ -фазы в сплаве урана с молибденом.

С целью определения кристаллографических ориентировок α -фазы урана и фазы U_2Mo относительно исходной δ -фазы при её эвтектоидном распаде фольга из сплава с 9% вес. молибдена, имевшая указанную выше текстуру, подвергалась отжигу при 500° в течение 50 час. Рентгенографическое исследование продуктов эвтектоидного распада показало, что они также обладают преимущественной ориентировкой. Сопоставление их ориентировки с исходной ориентировкой кристаллов δ -фазы, проведенное с помощью стереографических проекций, и анализ расположения атомов в соответствующих атомных плоскостях α - и δ -фаз урана и U_2Mo позволили установить характер сопрягающихся атомных плоскостей при эвтектоидном распаде $\delta \rightarrow \alpha + U_2Mo$. Выбор сопрягающихся атомных плоскостей производился с учетом принципа, согласно которому минимум поверхностной энергии обеспечивается при максимальном сходстве в расположении атомов на сопрягающихся гранях старой и новой фаз. Были установлены следующие взаимные ориентировки фаз при эвтектоидном распаде:

I Взаимная ориентировка δ -фазы и U_2Mo .

$$\begin{aligned} & (001) U_2Mo \quad \text{II} \quad (001) \delta ; \\ & /100/ U_2Mo \quad \text{II} \quad /100/ \delta . \end{aligned}$$

- 14 -

П Взаимная ориентировка δ -фазы и α -фазы урана

(010) α II (112) δ или (100) α II (112) δ ;
/100/ α II /111/ δ /012/ α II /111/ δ ;

Из приведенных данных следует, что фаза $U_2 Mo$ сохраняет ориентировку исходных кристаллов δ -фазы. Эта фаза возникает в результате перераспределения атомов в исходной решетке и возникновения упорядоченного их расположения в тех участках решетки, где концентрация отвечает составу $U_2 Mo$.

г. Кристаллография фазового превращения сплава урана с 0,6 % вес. молибдена.

Взаимная ориентировка при равновесном фазовом переходе $\alpha \rightleftharpoons \beta$ в сплаве урана с 0,6 % вес. молибдена определялась на холоднокатаной фольге, которая имела типичную текстуру α -урана. Эта фольга была подвергнута закалке от температуры 670° с временем выдержки при этой температуре около 1 минуты с целью воспрепятствовать росту зерна β -фазы. Зафиксированное таким образом состояние β -фазы также характеризовалось преимущественной ориентировкой кристаллов, сопоставление которой с исходной текстурой α -фазы аналогично предыдущему случаю позволило установить взаимную ориентировку кристаллов α -и β -урана:

(100) α II (001) β ;
/012/ α II /110/ β .

Полученные данные отличаются от приведенных в литературе сведений относительно кристаллографических ориентировок при низкотемпературном мартенситном превращении переохлажденной β -фазы урана в α -фазу в сплавах урана с хромом /19/. Возможно, что это связано с различием температурных интервалов, в которых производилось исследование превращения, и с неодинаковым влиянием добавок.

д. Некоторые физические свойства сплавов урана с молибденом.

Исследование физических свойств сплавов урана с молибденом производилось на сплавах, содержащих различное количество молибдена. Определялись упругие свойства, теплопроводность, термическое расширение и др. свойства.

2851-62

- 15 -

В докладе в качестве примера приведены некоторые данные о физических свойствах сплава с 9% вес. молибдена.

На рис.17 показана температурная зависимость модуля нормальной упругости этого сплава. Модуль упругости определялся резонансным методом на образцах, подвергнутых гомогенизирующему отжигу в δ -фазе, и на образцах, отожженных ниже температуры эвтектоидного превращения. Модуль нормальной упругости δ -фазы этого сплава значительно ниже модуля нормальной упругости чистого α -урана. После продолжительного отжига ниже температуры эвтектоидной горизонтали модуль упругости сплава увеличивается из-за распада δ -фазы, приводящего к образованию зерен α -фазы.

На рис.18 приведена кривая, характеризующая изменение теплопроводности сплава с 9% вес. Мо в зависимости от температуры. На этом же рисунке приведены данные С.Т.Конобеевского и др./20/ о температурной зависимости электропроводности и вычисленные по этим экспериментальным данным значения числа Лорентца. Как видно из этого рисунка, для этого сплава закон Видемана-Франца выполняется, изменение числа Лорентца в исследованном интервале температур сравнительно невелико.

Коэффициент термического расширения сплава с 9% вес. молибдена в интервале 20-500° изменяется в соответствии с уравнением

$$\alpha = 11,6 \cdot 10^{-6} + 0,28 \cdot 10^{-8} T;$$

где T-температура в °C.

Средние значения коэффициента теплового расширения в интервалах 20-300° и 20-500° равны $12,0 \cdot 10^{-6}$ и $12,3 \cdot 10^{-6}$ соответственно.

- 16 -

ЛИТ Е Р А Т У Р А

1. Coffinberry E. *Progr. in Nuclear Energy, V, 1. Metallurgy and Fuels.* 1956.
2. Bagley K.Q. *Nucl. Engng., 2, 461-468 (1957).*
3. Конобеевский С.Т. "Диаграммы состояния некоторых систем на основе плутония". Доклад на сессии АН СССР по мирному использованию атомной энергии. Заседание отделения химических наук. Москва (1955) (стр.362).
4. Dawson J.K. *Journ. Chem. Soc., Oct., 3393 (1954).*
5. Bats L., Hughes D. *Proc. Phys. Soc., B 67, 28-38 (1954).*
6. Дорфман Я.Г. Магнитные свойства и строение вещества. Москва, (1955) (стр.326).
7. Bats L. *Proc. Phys. Soc., B 69, 997 (1956).*
8. Данные Крауфмана и Гордона взяты из работы Бейтса.
(Bats L., Hughes D. *Proc. Phys. Soc., B 67, 28-38 (1954).*)
9. Фут. Доклад: "Физическая металлургия урана".
Доклады иностранных ученых на Женевской конференции по мирному использованию атомной энергии "металлургия ядерной энергетики и действие облучения на материалы". Москва (1956), (стр.89-175).
10. Nichols R.W. *Nucl. Engng., 2, 355 (1957).*
12. Bridge J., Schwartz C.M., Vaghan D. *Journ.of Met., 8, 1282-1285 (1956).*
12. Jacob C.W., Warren B.E. *Journ. Am. Chem. Soc. 59, 2588 (1937).*
13. Сергеев Г.Я., Титова В.В., Николаева З.П., Каптельцев А.М., Колобнева Л.И. "Влияние технологии изготовления на структуру и свойства урана".
Доклад, представленный на Вторую конференцию по мирному использованию атомной энергии. (1958).
14. Pfeil P. C. L. *Journ. Inst. of Met., 77, 553-570 (1950).*
15. Tucker C.W. *Journ. Inst. of Met., 78, 760- 762 (1951).*
16. Селлер Г. Уран и его сплавы.
Ядерные реакторы т.Ш. материалы для ядерных реакторов, Москва (1957) (стр. 278).
17. См. например, статью Bleiberg M.L., Jones L.J., Lustman B. *Journ. Appl. Phys., 27, 1270 (1956).*

- 17 -

18. Haltman E.K. *Acta Cryst.*, 10, 166 (1957).
19. Butcher B.R. *Nature*, N4383, 817 (1953).
20. Конобеевский С.Т., Правдюк Н.Ф., Дубровин К.П., Левитский
Б.М., Пантелеев Л.Д., Голянов В.М.,
Атомная энергия 4, 33-43 (1958).

-18-

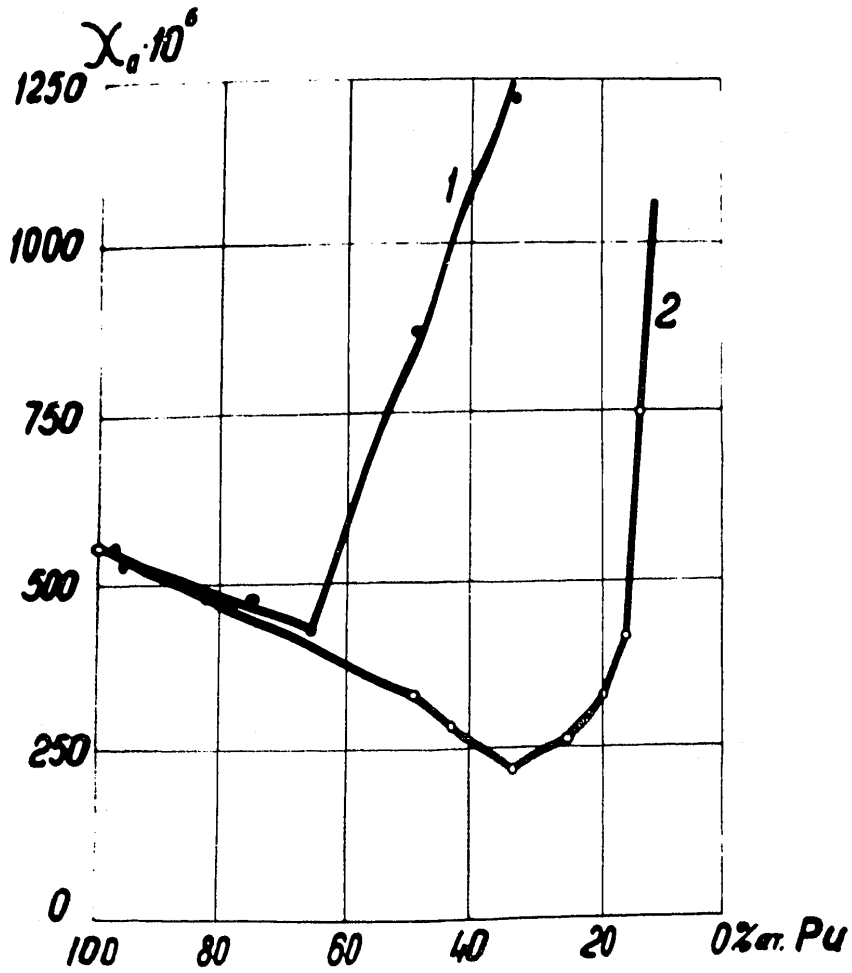


Рис. I. Парамагнитная восприимчивость сплавов плутония с кобальтом (1) и никелем (2) при комнатной температуре

2851-62

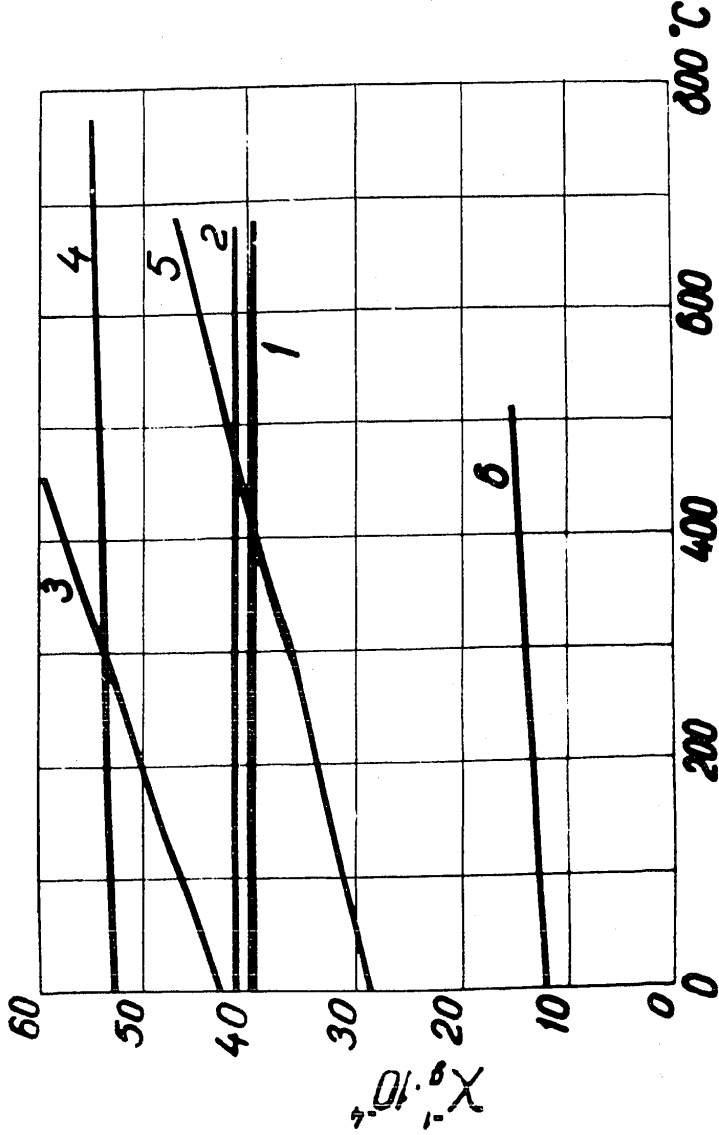


Рис. 2. Температурная зависимость парамагнитной восприимчивости некоторых соединений плутония. 1 - Pu₃CO
 2 - Pu₂CO, 3 - PuNi, 4 - PuNi₂,
 5 - PuNi₄, 6 - PuMn₂

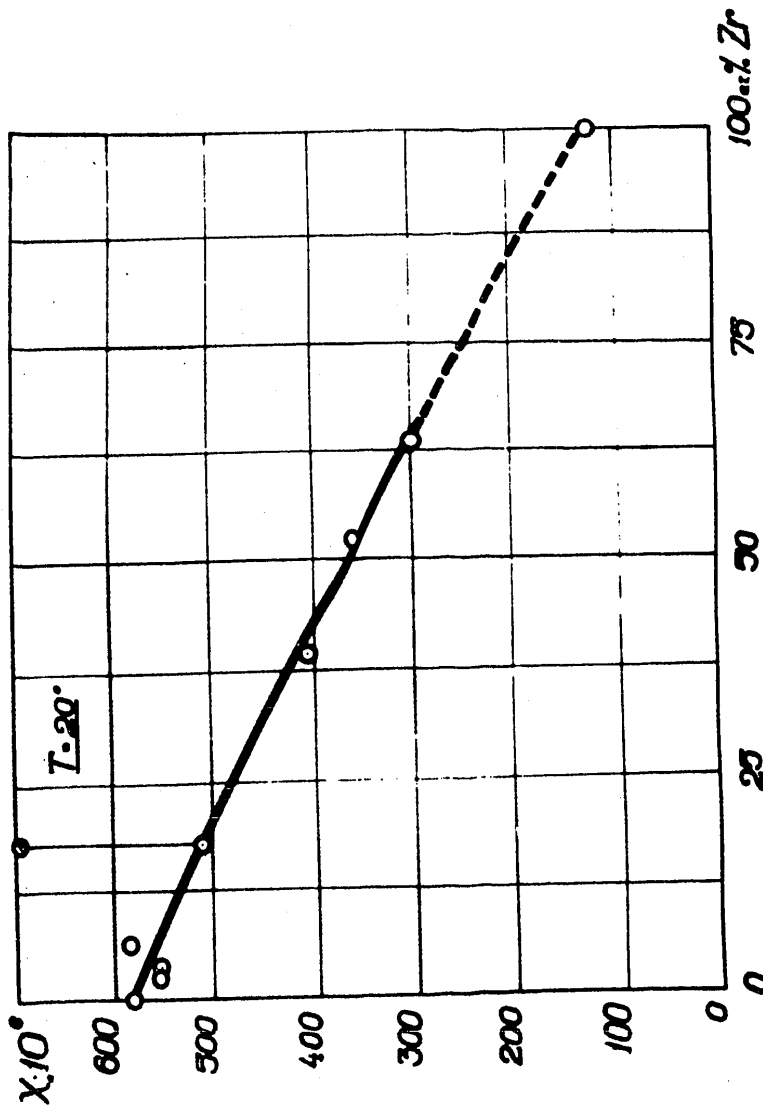


Рис. 3. Парамагнитная восприимчивость сплавов плутония с цирконием.
 ○ - сплавы со структурой δ - фаз плутония; ● - соединения Pu₆Zr.

2151-62

-21-

2851-62

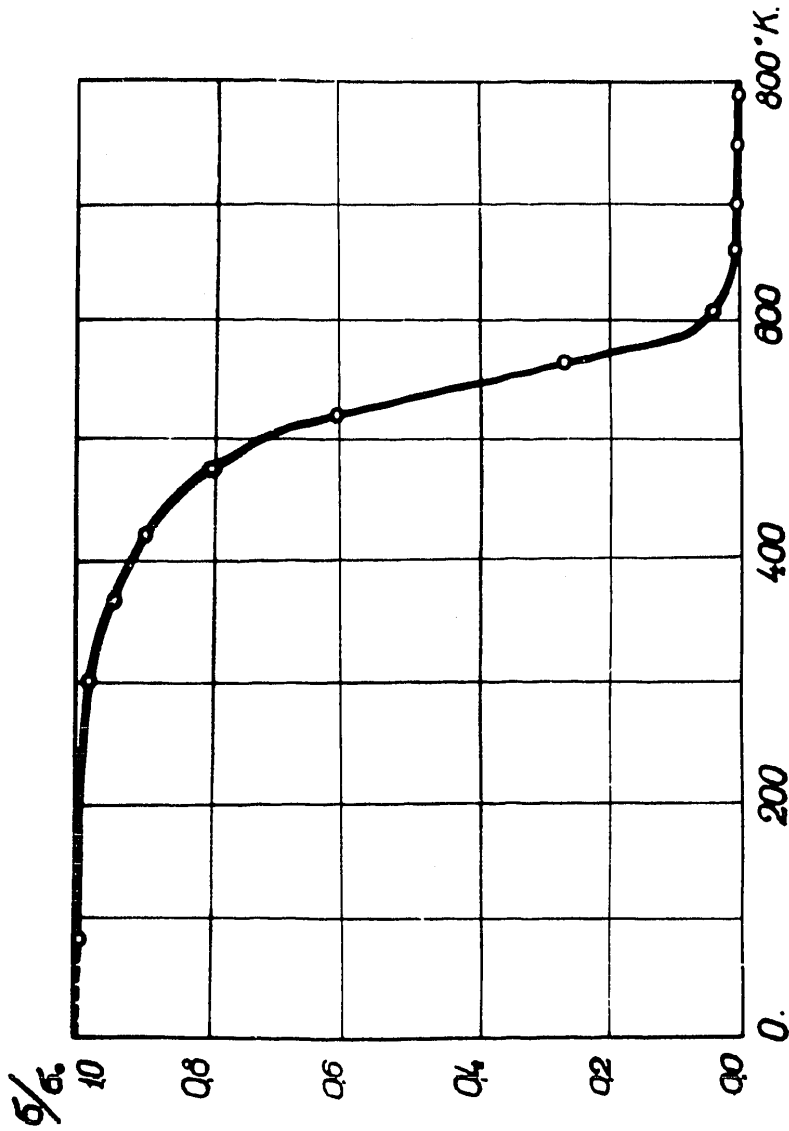


Рис. 4. Зависимость намагниченности соединения $RuFe_2$ от температуры

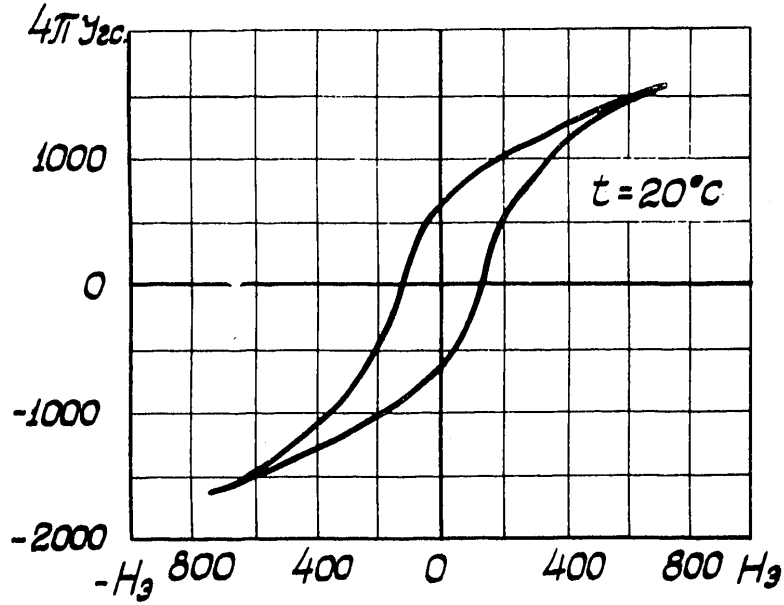


Рис.5. Гистерезисная кривая соединения $PuFe_2$

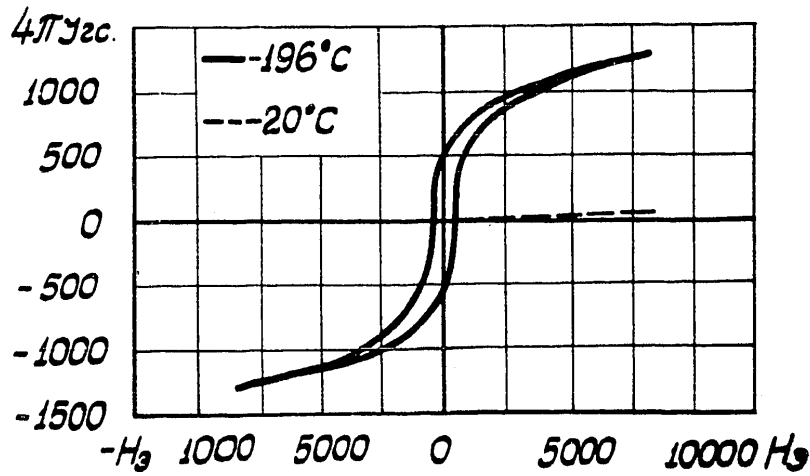


Рис.6. Гистерезисная кривая соединения UFe_2

2857-62

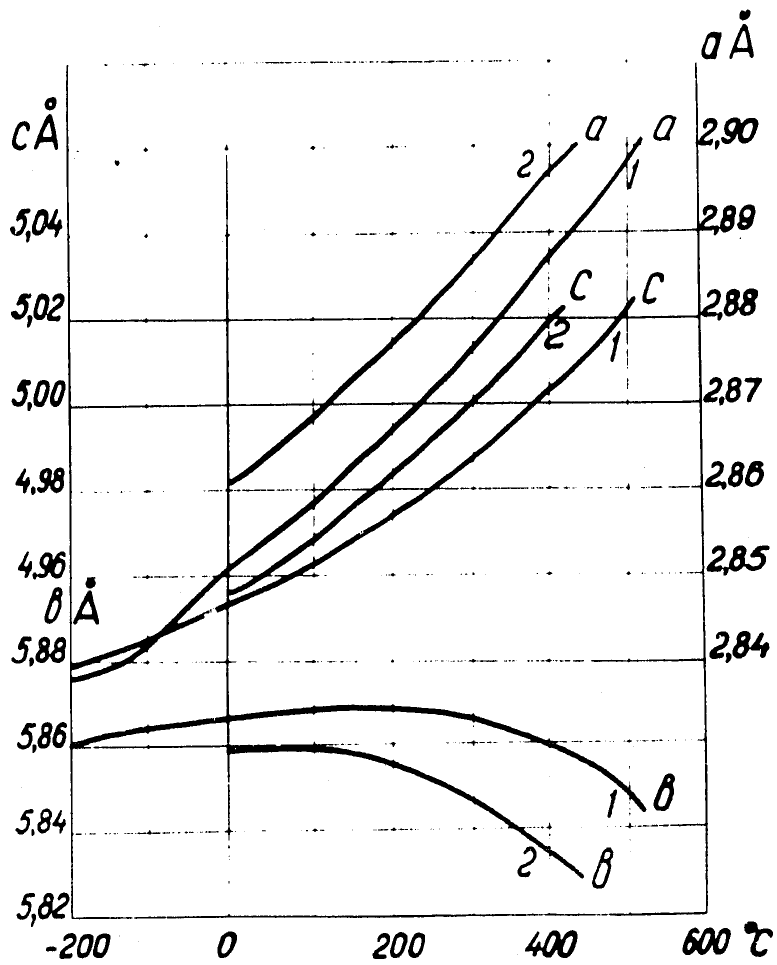
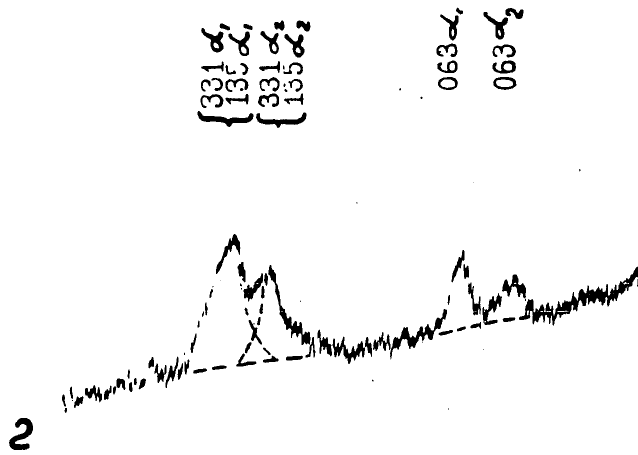
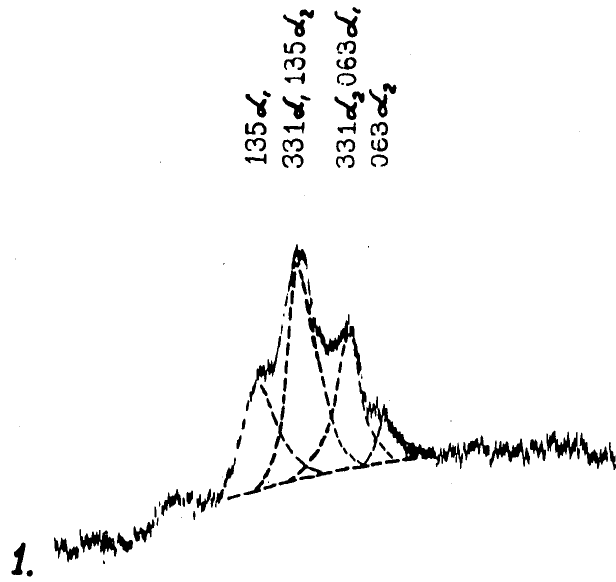


Рис. 7. Зависимость осевых периодов решетки α -урана и α -фазы сплава урана с 15% ат.плутония от температуры. 1 - α -уран, 2 - α -фаза сплава урана с 15% ат.плутония



2851-62

Рис.8. Микрофотометрические кривые, показывающие изменение соотношения интенсивностей дифракционной линии (063) и линий (135) и (331) α -урана при нагреве от 20 до 500°. 1 - 20°, 2 - 500°

2851-62

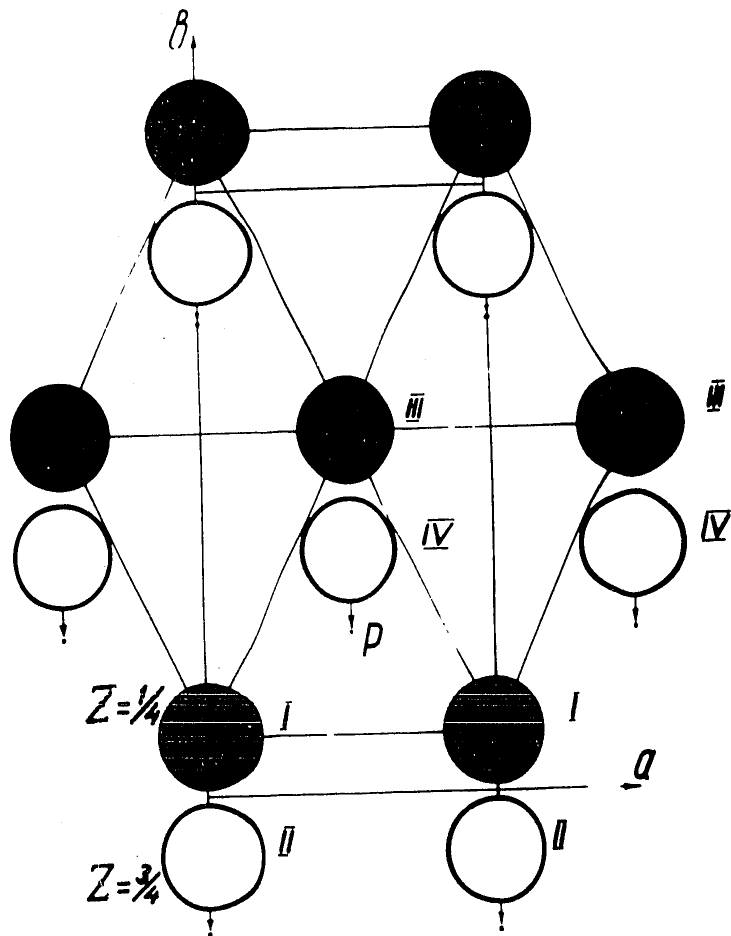
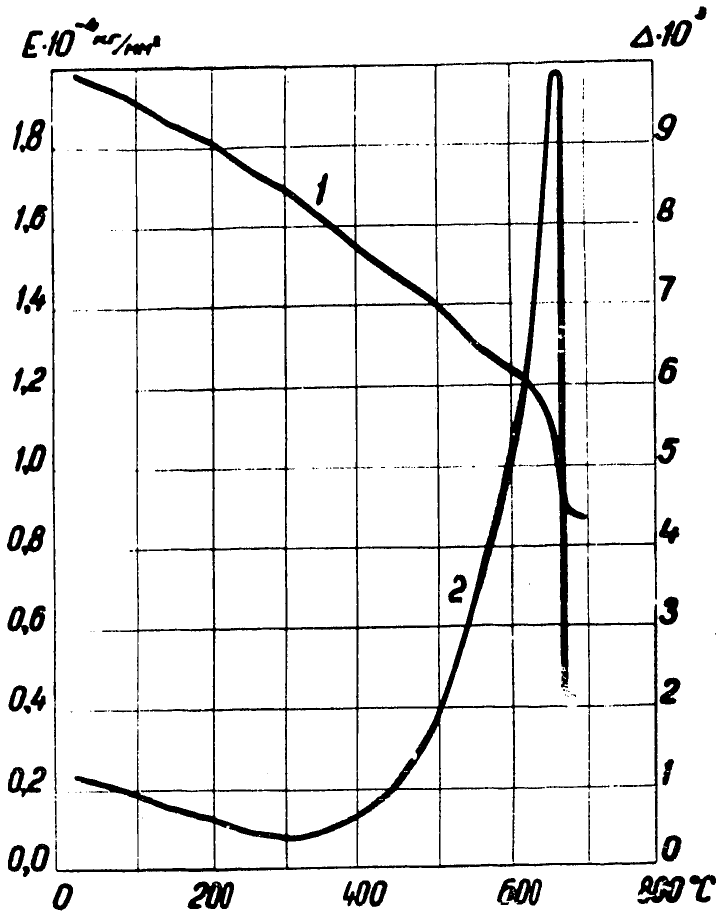


Рис.9. Проекция решетки α -урана на плоскость (001)



2851-62

Рис.10. Зависимость модуля нормальной упругости (кривая 1) и внутреннего трения (кривая 2) урана от температуры

-27-

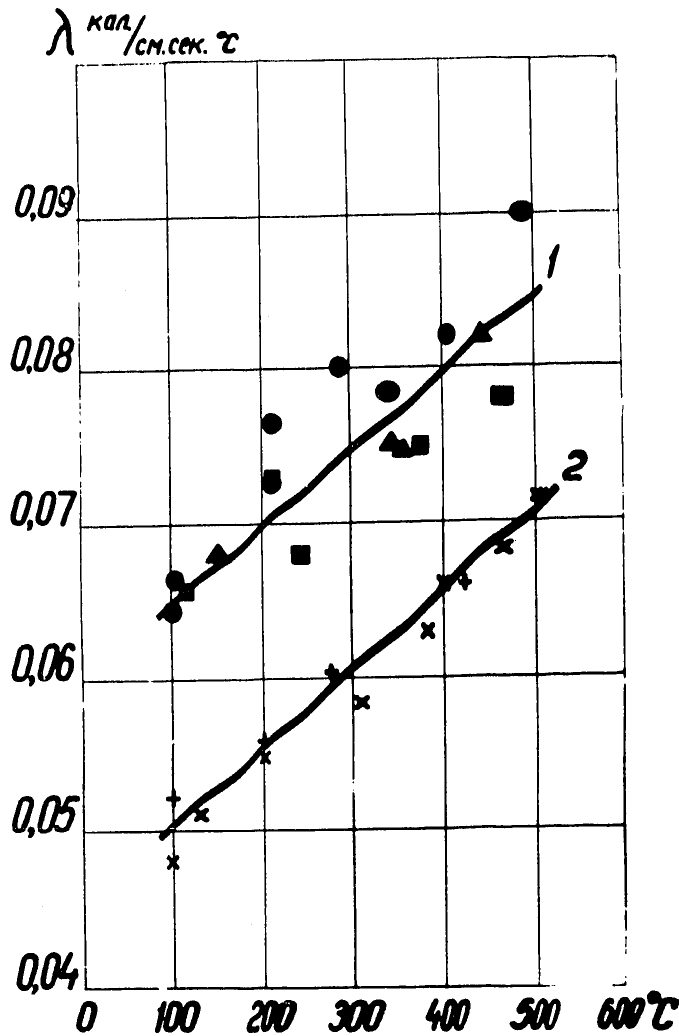


Рис. II. Температурная зависимость теплопроводности α -урана: 1. ● - литой (99,78% вес. U); ▲ - закаленный с 740° в воду (99,66% вес. U); ■ - металлокерамический, полученный горячим прессованием. Плотность 18,7 (99,9% вес. U). 2. + - металлокерамический, полученный горячим прессованием. Плотность 18,13 (99,6% вес. U и 0,3% вес. O₂). x - металлокерамический, полученный горячим прессованием. Плотность 18,0 (99,9% вес. U)

28-

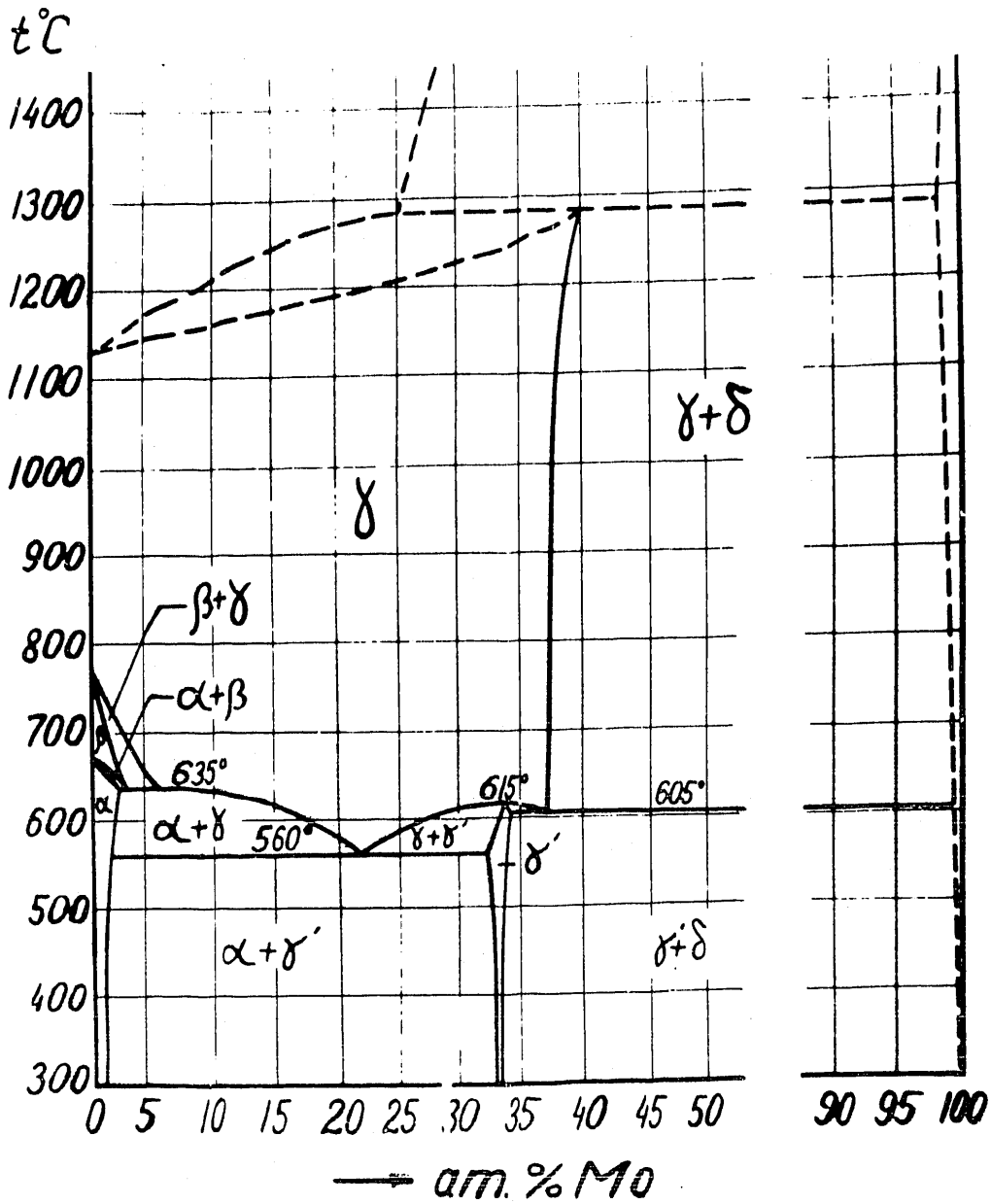


Рис.12. Диаграмма состояния уран-молибден

2851-62

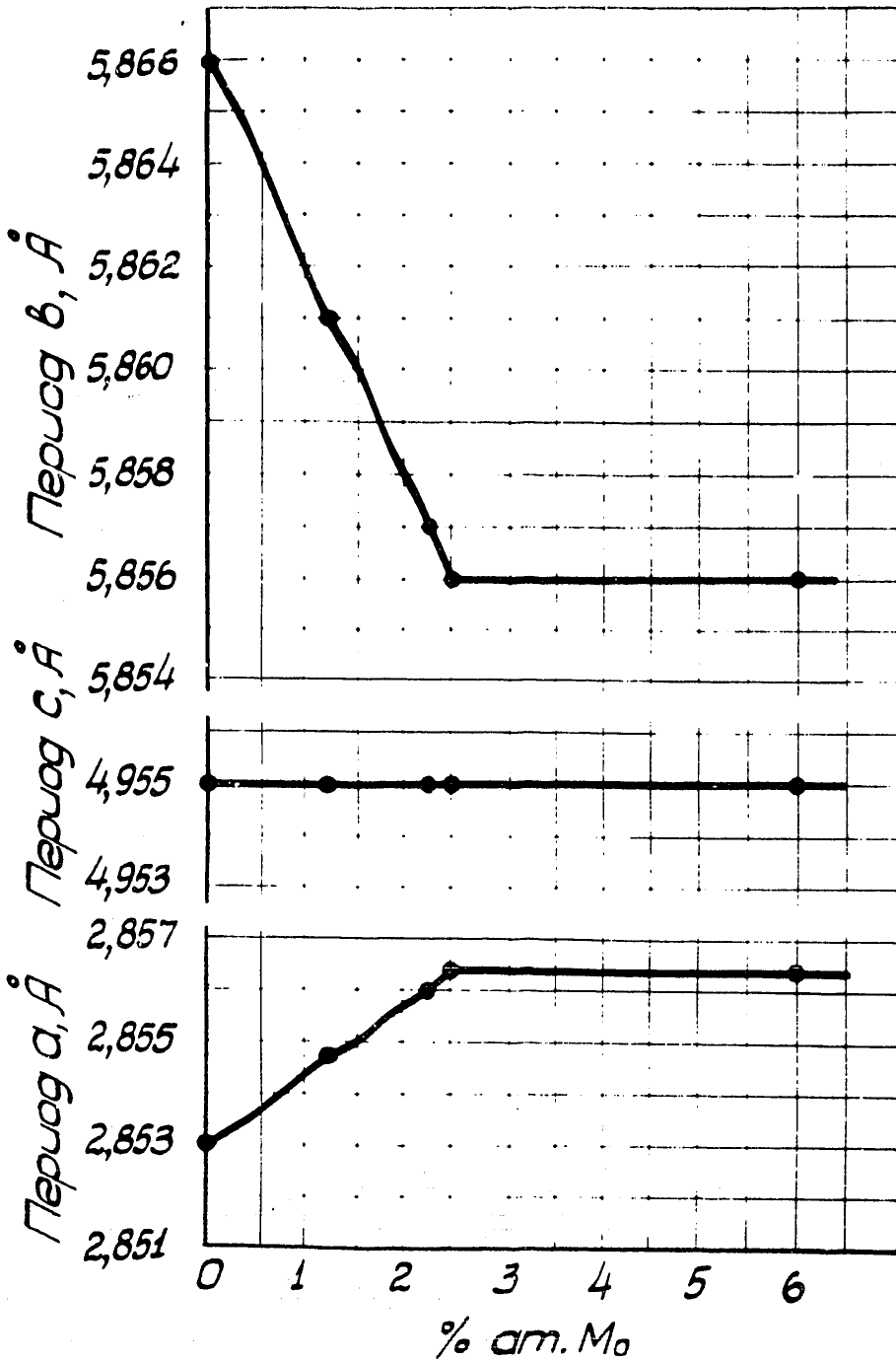


Рис. 10. Изменение периодов решетки α -фазы урана в зависимости от количества растворенного в ней молибдена

-30-

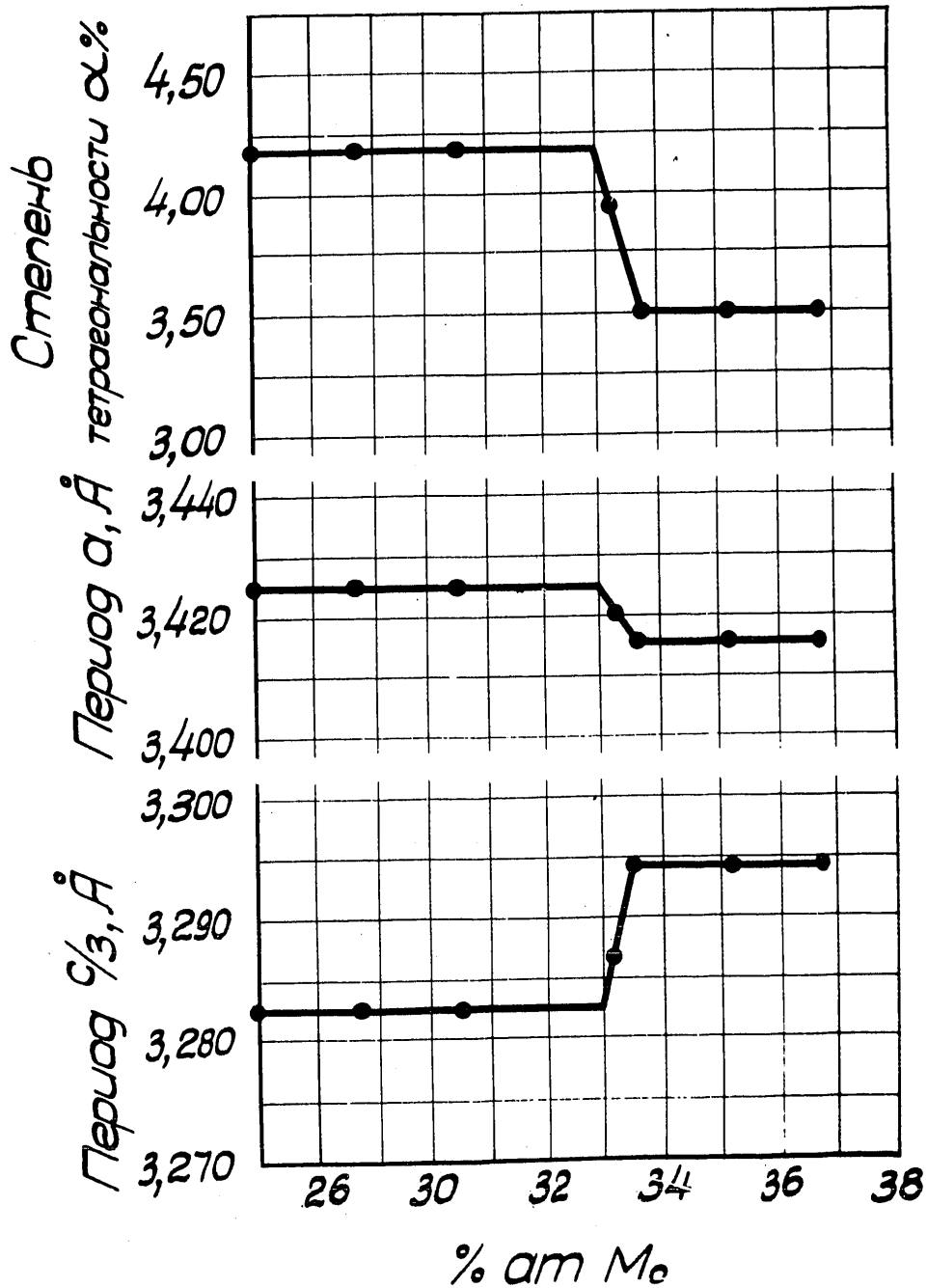


Рис.14. Изменение периодов решетки a и $\frac{c}{3}$ и величины $\alpha = \frac{a - c/3}{a}$ в зависимости от концентрации молибдена

2854-62

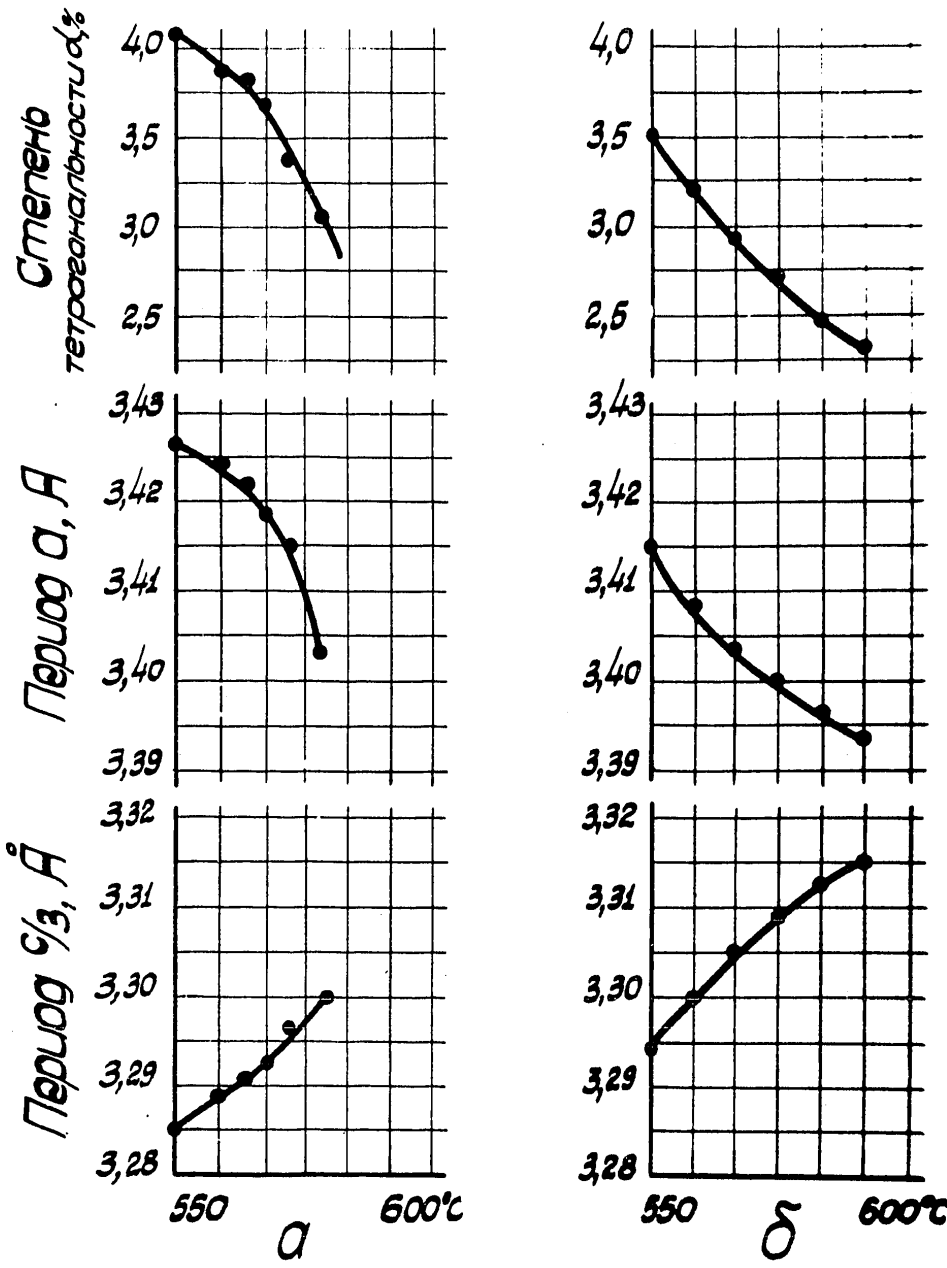


Рис.15. Изменение периодов решетки а и с/з и величины $\alpha = \frac{a - c/3}{a}$ в зависимости от температуры. а) Сплав урана с 14% вес.Мо . б) Сплав урана с 18,0% вес.Мо

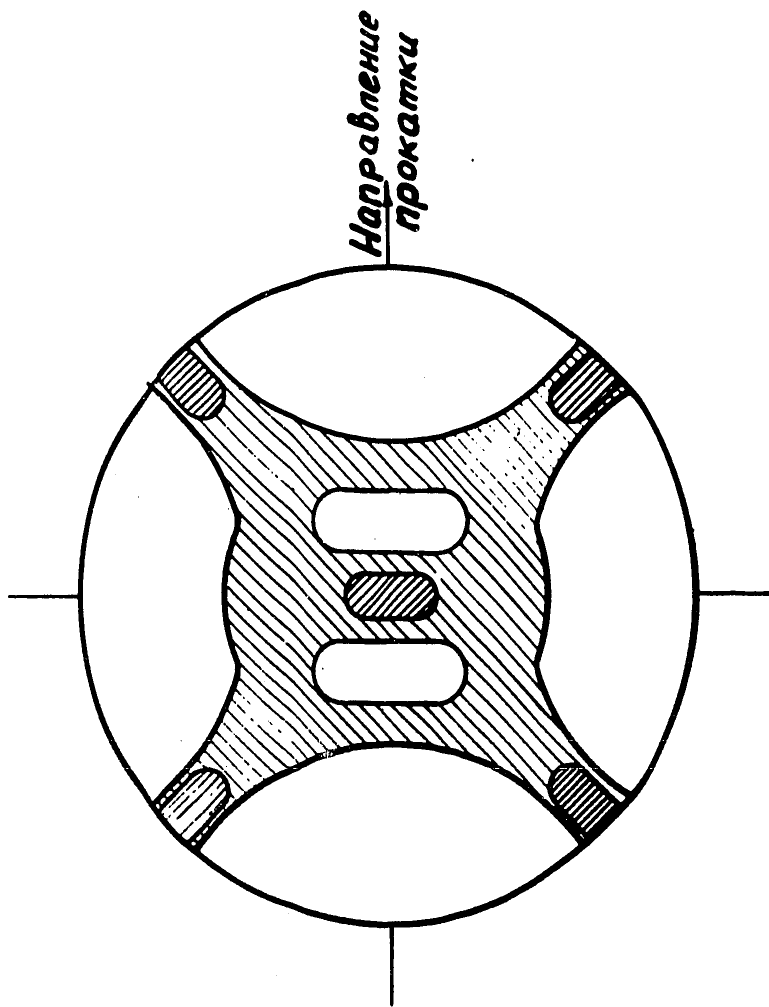


Рис. 16. Полусная фигура (001) холоднокатаной фольги сплава урана с 9% вес. молибдена

2857-62

-01-

29-1588

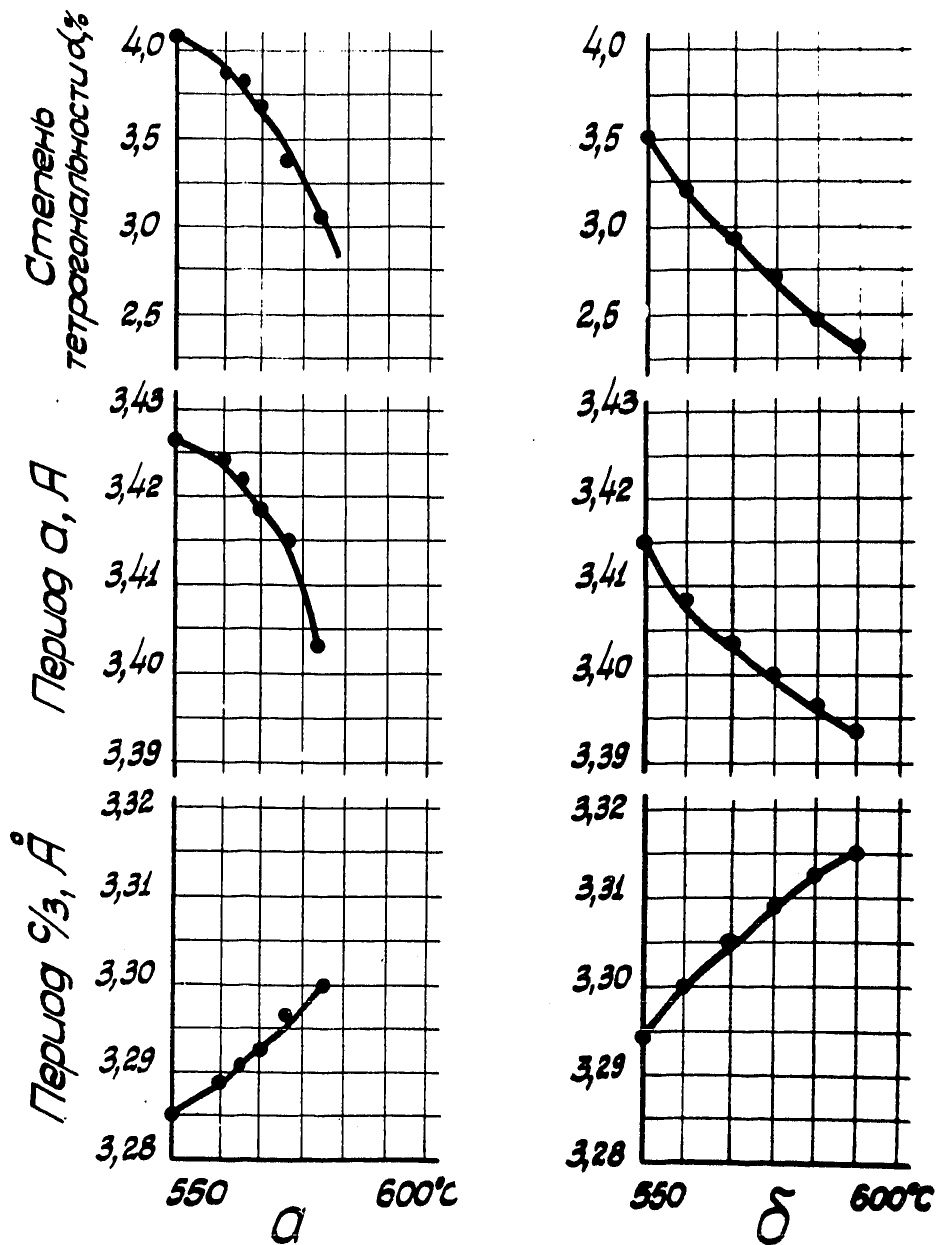


Рис.15. Изменение периодов решетки a и $c/3$ и величины $\alpha = \frac{a - c/3}{a}$ в зависимости от температуры. а) Сплав урана с 14% вес.Мо . б) Сплав урана с 18,0% вес.Мо

-88-

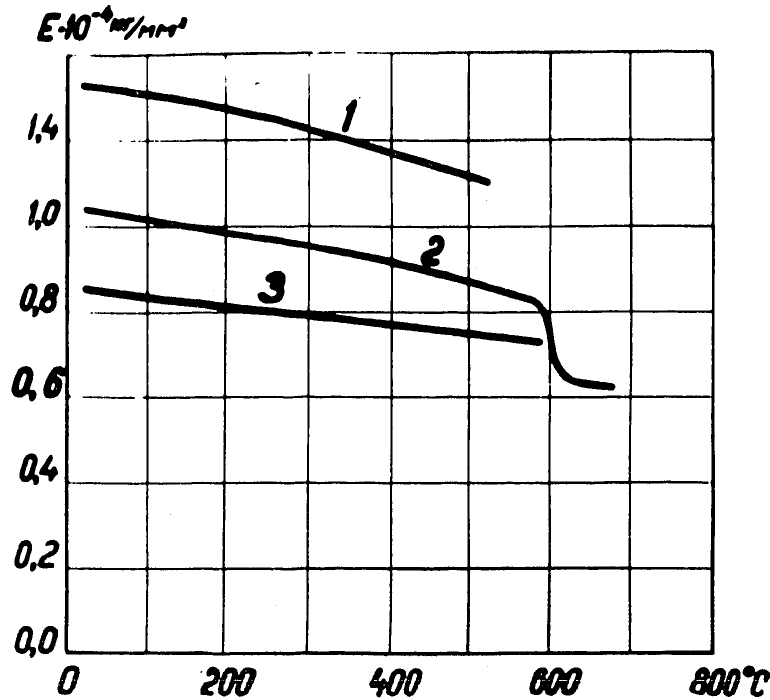


Рис. 17. Температурная зависимость модуля нормальной упругости сплава урана с 9% вес. молибдена. 1) после отжига при 500° в течение 100 час; 2) после отжига при 520° в течение 11 час; 3) после отжига в γ -фазе

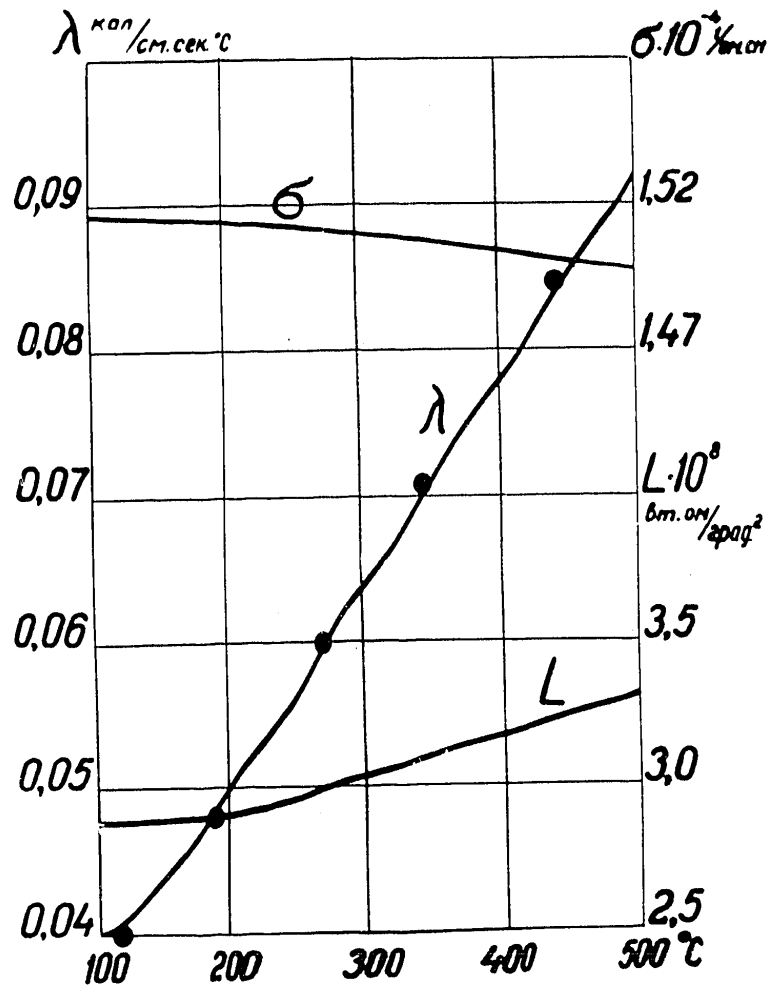


Рис.18. Температурная зависимость теплопроводности γ -фазы сплава урана с 9% вес.Мо, отожженного в течение 5 часов при 900°. На рис. показано также изменение электропроводности с температурой (20), и вычисленные по этим данным значения числа Лорентца